

В. Я. Слободской, В. В. Соболев, П. Н. Баранов

О МЕХАНИЗМАХ КРИСТАЛЛИЗАЦИИ АЛМАЗА

Кристаллизация алмаза происходит по основным механизмам: атермическому (мартенситному) и диффузионному. Последний подразделяется на гомогенный (с включением флюктуационного) и гетерогенный с образованием двумерных зародышей. Кристаллы растут по нормальному и послойному (путем осаждения на поверхности двумерных зародышей или за счет присоединения частиц к центрам роста, образованным дислокациями) механизмам.

С точки зрения термодинамики процесс кристаллизации определяется разностью энергий начального и конечного состояний и энергетическим барьером на пути этого превращения, который может быть выражен через степень пересыщения атомов в маточной среде. Кинетика образования фаз описывается через энергию активации переноса атомов к фронту кристаллизации. Кроме термодинамических и кинетических критериев образованию фаз должен соответствовать определенный уровень энергетического состояния атомов [1].

Высота энергетического барьера кристаллизации алмаза, размер кристаллов и температура могут быть связаны через степень пересыщения, которая в относительных единицах характеризуется отношением концентраций (давлений или температур), соответствующих параметрам синтеза и равновесным условиям. В общем виде работа гомогенного образования зародышей описывается выражением [2]

$$\Delta G_{\text{гом}} = 4\pi r_\alpha^2 \sigma_\alpha + \frac{4}{3} \pi \frac{r_\alpha^3}{V_\alpha} \Delta \mu,$$

где r_α — размер сферической частицы алмаза; V_α — объем, приходящийся на один атом в решетке алмаза; $\Delta \mu$ — разность химических потенциалов алмаза и графита; σ_α — поверхностная энергия кристалла алмаза.

Условие экстремума работы образования определяет размер критического зародыша $r_c = -2\sigma_\alpha V_\alpha / \Delta \mu$, с учетом которого высота энергетического барьера превращения графит — алмаз по гомогенному механизму будет иметь вид

$$\Delta G'_{\text{гом}} = \frac{16}{3} \frac{\pi \sigma_c^3 V_c^2}{\Delta \mu^2}. \quad (1)$$

Вероятность протекания такого процесса выражается зависимостью [2]

$$W = B \exp(-\Delta G'_{\text{гом}} / kT), \quad (2)$$

где T — температура процесса; k — постоянная Больцмана.

Предэкспоненциальный множитель B определяется частотой перехода зародышей алмаза через критический радиус. Отсюда степень критического пересыщения, при котором реализуется гомогенный механизм кристаллизации алмаза, будет следующей:

$$\varphi = \frac{4\sigma_\alpha V_\alpha}{kT} \left(\frac{\pi \sigma_\alpha}{3kT \ln B} \right)^{1/2}. \quad (3)$$

Аналогично может быть получено выражение для определения степени критического пересыщения для флюктуационного механизма зарождения алмаза.

В соответствии с коллоидной теорией пулькации [3] образование шарового сегмента радиусом R_α и высотой H_α представляется в виде

$$\Delta G_{\text{ФЛ}} = \frac{\pi}{3} H_\alpha^2 (3R_\alpha - H_\alpha) \frac{\Delta\mu}{V_\alpha} + 2\pi R_\alpha H_\alpha \sigma_1 - \pi H_\alpha^2 \sigma_2,$$

$$\sigma_1 \approx 2(\sigma_\alpha - \sigma_\beta), \quad \sigma_2 \approx (V_\beta/V_\alpha)^{2/3} \sigma_\beta + (\sigma_\alpha - 2\sigma_\beta)$$

(индекс β соответствует графиту). Определяя экстремум из условия $dG/d(H_\alpha/R_\alpha) = 0$, находим высоту энергетического барьера

$$\Delta G'_{\text{ФЛ}} = \Delta G_{\text{ром}} \frac{(1 - \sigma_\beta/\sigma_\alpha)^2}{1 - 1/3 [2 - (V_\beta/V_\alpha)^{2/3}] (\sigma_\beta/\sigma_\alpha)},$$

при котором соотношение размеров зародыша алмаза

$$H_\alpha/R_\alpha = \frac{2(1 - \sigma_\beta/\sigma_\alpha)}{3 - [2 - (V_\beta/V_\alpha)^{2/3}] (\sigma_\beta/\sigma_\alpha)}.$$

Аналогично выражению (3) с учетом вероятности процесса при полиморфном превращении графит — алмаз по флуктуационному механизму

$$\varphi = \frac{4\sigma_\alpha V_\alpha}{kT} \left\{ \frac{\pi(1 - \sigma_\beta/\sigma_\alpha)^2 \sigma_\alpha}{3kT \ln B \{1 - 1/3[2 - (V_\beta/V_\alpha)^{2/3}] \sigma_\beta/\sigma_\alpha\}} \right\}.$$

Образование и рост кристаллов алмаза критического размера могут протекать по механизму двумерного зарождения. В этом случае изменение энергии системы в процессе образования зародыша высотой h_α со стороной квадрата d_α находится из выражения [2]

$$\Delta G_{\text{дв}} = 4h_\alpha d_\alpha \sigma_\alpha + h_\alpha d_\alpha^2 \Delta\mu/d_\alpha.$$

Высота энергетического барьера для образования зародыша критического размера определяется по формуле

$$\Delta G'_{\text{дв}} = \frac{4\sigma_\alpha^2 h_\alpha V_\alpha}{\Delta\mu}.$$

Таким образом, степень критического пересыщения, при котором реализуется механизм двумерного зарождения, с учетом вероятности протекания процесса $\varphi = \frac{h_\alpha V_\alpha / (2\sigma_\alpha)^2}{\ln B / (kT)}$.

При низких величинах φ рост кристаллов алмаза может быть затруднен или вообще невозможен. Однако экспериментальные исследования показали, что в реальных системах при малых пересыщенных рост не прекращается. Это связано с наличием дефектов структуры кристаллов. На основании анализа дислокационных моделей роста кристаллов и сравнения их с экспериментальными данными сделано заключение [4] о наличии критического пересыщения, ниже которого послойный рост не происходит. Это явление связывается со сбалансированными группами дислокаций либо, что более вероятно, с отсутствием дислокаций на поверхности кристаллов.

Критическое пересыщение над алмазом, ниже которого не идет послойный рост, определяется выражением

$$\varphi = 2\gamma a/kTl,$$

где γ — энергия боковой поверхности зародыша на 1 атом; a — межатомное расстояние; l — максимальное расстояние между парами дислокаций. При пересыщенных, меньших критического, может быть реализован нормальный механизм роста кристаллов.

Описанные механизмы кристаллизации алмаза относятся к термически активируемому или диффузионному процессу. Однако возможна кристаллизация алмаза и мартенситным путем. Авторы [5] предположили преобладающую роль (при ударном сжатии графита) мартенситного ме-

ханизма превращения графит — алмаз в связи с короткими временами процесса. В дальнейшем экспериментальные и теоретические результаты [6, 7] показали большую вероятность реализации диффузионных механизмов. Известно выражение для работы перехода коллоидной частицы графита в алмазную [3]

$$\Delta G_{\text{п}} = \frac{4}{3} \pi r_{\alpha}^3 \frac{\Delta \mu}{V_{\alpha}} + 4\pi (r_{\alpha}^2 \sigma_{\alpha} - r_{\beta}^2 \sigma_{\beta}).$$

При этом превращении энергия системы снижается за счет изменения поверхностной энергии включения. Допуская, что количество атомов С при переходе не изменилось, и с учетом зависимости для критического радиуса кристалла получим величину энергетического барьера мартенситного превращения

$$\Delta G'_{\text{м}} = \Delta G'_{\text{ром}} \left[1 - 3 \frac{\sigma_{\beta}}{\sigma_{\alpha}} \left(\frac{V_{\beta}}{V_{\alpha}} \right)^{2/3} \right]. \quad (4)$$

Анализируя последнее выражение, покажем, что данный переход выполняется при условии

$$\sigma_{\beta}/\sigma_{\alpha} < 1/3 (V_{\beta}/V_{\alpha})^{2/3}. \quad (5)$$

В связи с тем, что $(V_{\beta}/V_{\alpha})^{2/3} = 1, \dots, 2$, окончательно получим

$$\sigma_{\beta}/\sigma_{\alpha} < 0,1, \dots, 0,3.$$

Так как размер включения прямо пропорционален его поверхностной энергии, можно предположить развитие полиморфного превращения на первой стадии по мартенситному механизму. Однако сравнение высот энергетических барьеров мартенситного и флюктуационного механизмов показывает большую вероятность того, что превращение определяется диффузионным механизмом.

На диаграмме фазового равновесия зоны, отвечающие различным механизмам кристаллизации алмаза, располагаются в следующей последовательности в зависимости от превышения давления над линией равновесия: гомогенный, мартенситный, флюктуационный, двумерного зарождения, дислокационный, нормальный.

Для мартенситного механизма граница зоны может быть определена при условии, что вся энергия затрачивается на деформацию и сдвиг решетки графита. При этом графит представлен микрокристаллитной структурой, для которой выполняется неравенство (5). С учетом зависимостей (1) и (4) высота энергетического барьера для протекания полиморфного превращения графит — алмаз по мартенситному механизму описывается выражением

$$\Delta G'_{\text{м}} = \frac{16}{3} \pi \frac{\sigma_{\alpha}^3 V_{\alpha}^2}{\Delta \mu^2} [1 - 3 (\sigma_{\beta}/\sigma_{\alpha}) (V_{\beta}/V_{\alpha})^{2/3}].$$

Отсюда находим границу зоны, в которой реализуется мартенситный механизм (вероятность процесса определяется из (2)):

$$p = p_{\text{p}} + \left\{ \frac{16}{3} \frac{\pi \sigma_{\alpha}^3 V_{\alpha}^2}{kT \ln B \Delta V^2} [1 - 3 (\sigma_{\beta}/\sigma_{\alpha}) (V_{\beta}/V_{\alpha})^{2/3}] \right\}^{1/2}$$

или

$$p = p_{\text{p}} + \frac{4\sigma_{\alpha} V_{\alpha}}{\Delta V} \left\{ \frac{\pi \sigma_{\alpha}}{3kT \ln B} [1 - 3 (\sigma_{\beta}/\sigma_{\alpha}) (V_{\beta}/V_{\alpha})^{2/3}] \right\}^{1/2}, \quad (6)$$

где p — давление, при котором происходит изменение механизма кристаллизации от флюктуационного к мартенситному; p_{p} — давление, соответствующее линии фазового равновесия; ΔV — разность мольных объемов графита и алмаза.

Таким образом, при взрывной обработке мелкокристаллитного графита при соответствующих термодинамических параметрах полиморфное превращение идет по мартенситному механизму. В дальнейшем при сниже-

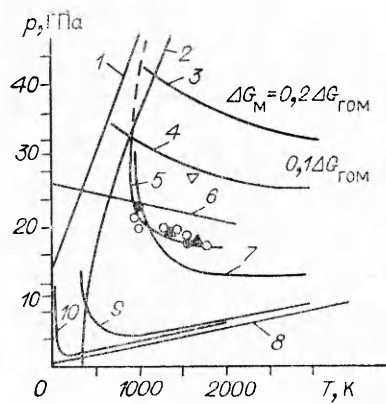


Диаграмма фазового равновесия графит — алмаз. 1 — асимптота диффузионного превращения; 2 — ударная адиабата графита; 3, 4 — $p = p_p + \frac{4\sigma_\alpha V_\alpha}{\Delta V} \left(\frac{\pi\sigma_\alpha}{3kT} \right)^{1/2} \left[1 - 3 \frac{\sigma_\beta / V_\alpha}{\sigma_\alpha} (V_\beta/V_\alpha)^{2/3} \right]^{1/2}$; 5 — $\bar{T}_A = \frac{E}{a} + p \frac{V}{B} + \frac{c}{(p-p_0)^2}$ [7]; 6 — $p = p_0 + \frac{c}{VA} T$, линия гистерезиса атермического превращения [7]; 7 — $p = p_p \exp \frac{4\sigma_\alpha V_\alpha}{kT} \times \left\{ \frac{\pi (1 - \sigma_\beta/\sigma_\alpha)^2 \sigma_\alpha}{3kT \ln B \left[1 - 1/3 \left[2 - \left(\frac{V_\beta}{V_\alpha} \right)^{2/3} \right] \frac{\sigma_\beta}{\sigma_\alpha} \right]} \right\}^{1/2}$; 8 — $p_t = 2,7T + 700$ (МПа) [8], линия равновесия; 9 — $p = p_p \exp \frac{h_\alpha V_\alpha (2\sigma_\alpha)^2}{\ln B (kT)} \cdot 10^3$; 10 — $p = p_p \exp \frac{2\gamma_a}{kTl}$. ● — [6]; ○ — [9]; ▲ — [7].

пии термодинамических параметров процесс переходит в зону флюктуационного механизма и в зависимости от скорости протекания процесса может перейти к механизмам кристаллизации, которые характеризуются более низкими значениями степени пересыщения, либо прекратиться вовсе.

На рисунке в зоне стабильности алмаза показаны поля, отвечающие различным механизмам кристаллизации алмаза. Параметры алмаза и графита [3]: $\sigma_\alpha = 4,7$ Дж/м², $\sigma_\beta = 3,4$ Дж/м², $\rho_\alpha = 3,5 \cdot 10^3$ кг/м³, $\rho_\beta = 2,2 \cdot 10^3$ кг/м³. Для мартенситного механизма составляющая $[1 - 3 \times (\sigma_\beta/\sigma_\alpha) (V_\beta/V_\alpha)^{2/3}]$ из выражения (6) принята равной 0,2 (кривая 3) и 0,1 (кривая 4). Степень пересыщения представлена в виде отношения давления процесса к равновесному давлению, т. е. $\varphi = \ln p/p_p$. Для двумерного механизма принималась высота зародыша, равная длине связи между атомами в решетке алмаза $h_\alpha = 0,154$ нм. Значение предэкспоненциального множителя B может колебаться в широком диапазоне [2]. Однако его величина в связи с тем, что он стоит под знаком логарифма, мало влияет на общую картину. Обычно принимается $\ln B = 40$. В дислокационном режиме при учете расстояния между дислокациями (10^{-5} м), а также энергии и длины связи в решетке алмаза, критическое пересыщение при $T = 10^3$ К будет порядка 10^{-3} . Наблюдается удовлетворительная сходимость экспериментальных результатов по ударной сжимаемости графитов различной плотности [6, 9] с параметрами границы полиморфного превращения по флюктуационному механизму, а также с границей диффузионного механизма [7]. Некоторое несовпадение результатов по ударной сжимаемости пирографита и аморфного углерода [6] с данными работы [7] устраняются. Кривые 9 и 10 представляют собой границы переходов между дислокационным и двумерным, а также между нормальным и дислокационным механизмами роста кристаллов алмаза.

ЛИТЕРАТУРА

- Спицин Б. В. // Рост кристаллов.— М.: Наука, 1980.— Т. 13.
- Щукин Е. Д., Перцов А. В., Амелина Е. А. Коллоидная химия.— М.: Изд-во МГУ, 1982.
- Федосеев Д. В., Дерягин Б. В., Варшавская Н. Г. и др. Кристаллизация алмаза.— М.: Наука, 1984.
- Бартон В., Кабрера Н., Франк Ф. // Элементарные процессы роста кристаллов.— М.: ИЛ, 1959.
- Курдюмов А. В., Пилянкевич А. И. Фазовые превращения в углероде и нитриде бора.— Киев: Наук. думка, 1979.
- Gust W. H. J. Phys. Rev., 1980, 22, 10, 4744.
- Пятернев С. В., Першин С. В., Дремин А. Н. ФГВ, 1986, 22, 6, 125.
- Bundy F. P., Bovenkerk H. P., Strong H. M. et al. J. Chem. Phys., 1961, 35, 2, 383.
- Mc Queen R. G., Marsh S. P. // Behavior in dense media under high dynamic pressures.— Paris; N. Y., 1968.

г. Днепропетровск

Поступила в редакцию 11/1 1989